

ところでこれに稀土類金属を0.3%加えるととくに1200°C以上の高温で捻回数が約2倍に向上しましたCa-Siを脱酸剤として加えた場合もそれに近い効果が見出されている。

一方熱間加工材についても稀土類金属の効果を確かめるため250kg電気炉熔解の鋼を小取鍋に分注しそれぞれに稀土類金属を0.1%, 0.2%加えたものおよび何も加えない30kg鋼塊とし、これを鍛造して試料を作つた。この試験結果をFig. 4に示す。これによると0.1%加えたものは捻回数にほとんど変化は見られないが、0.2%加えると捻回数が約2倍に増えており、鋼塊の場合と同じく変形能の向上に効果があつたと考えられる。

さらにFig. 3とFig. 4を比較すると19Cr-9Ni鋼の鋼塊と熱間加工材の高温加工性の差異を知ることができる。これによると両者の間ではトルクはほとんど変わらないが、捻回数においては鍛造材は鋼塊よりも数倍も高い値を示している。すなわち鋼塊の変形能は熱間加工材に比しきわめて悪いことがわかる。

その他Niの一部をN₂で置き換えたAISI 200系の鋼についても同様の試験を行なつたが、19Cr-9Niよりもトルクがいくぶん高く捻回数も少ない。すなわち200系のものは19Cr-9Niよりやや高温加工性が劣る。

(101) キルド鋼板の圧延比と材質の関係について

尼崎製鉄 大黒 竹司・涌島 滋
深谷 更生・○佐藤 益弘

On the Relation between Reduction Ratio and Properties of Killed Steel Plates.

Takeshi Ōkuro, Shigeru Wakushima,
Nobuo Fukaya and Masuhiko Satō.

I. 緒 言

圧延比、あるいは鍛鍊比と材質の関係については、従

来多くの報告があり^{1)~5)}、それらを総括すると、大体つきの結論となる。

1. 長さ方向の材質は、鍛鍊比4~6までは鍛鍊比とともに向上するが、のち飽和する。

2. 横方向の材質は、鍛鍊比2~3にて極大を有し、以後の鍛鍊によつては、かえつて低下する。

3. したがつて成品の用途によつては、最適鍛鍊比を考慮する必要がある。

しかし、これらの研究の多くは、小鋼塊と鍛造によつたもので、熱延ビレットおよび丸鋼については、先頃、八幡製鉄から調査結果が発表せられたが、鋼板の場合は圧延による断面形状変化が、相似形的でないので、これらの結果をそのまま当てはめるわけにも行かない。

そこでキルド10t鋼塊から圧延した6種の板厚の鋼板について、その材質と圧延比との関係を調査した。

II. 試験方法

Table 1に示すキルド鋼塊(1チャージ: 6本)をTable 2に示す要領で、圧延比(鋼塊厚/板厚)=4, 6, 7, 8, 12, 20の各鋼板に圧延し、そのトップおよびボトムから試験片を採取したのち、サルファ・プリント、検鏡、引張、Vノッチ・シャルピーの各調査を行なつた。

Table 1. Ladle Analysis (%).

Heat No.	C	Mn	Si	P
H 637	0.23	0.60	0.20	0.009
Heat No.	S	Cu	Sol. Al	
H 637	0.019	0.18	0.005	

引張試験はJIS⁶⁾特1号(全厚)と特3号(部分)の両方、Vノッチ・シャルピー試験はJIS 4号⁸⁾により、いずれも板厚表面と中心、圧延方向、直角方向、板厚方向の各場合について試験を行なつた。

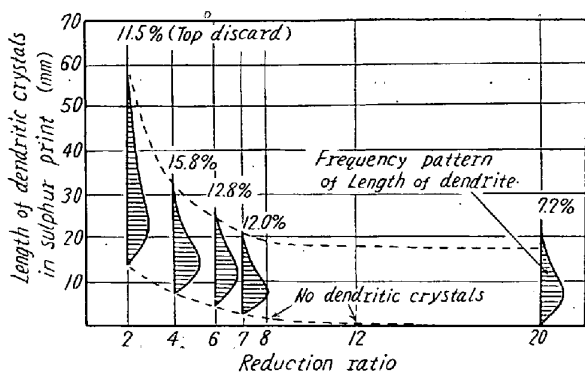
III. 試験結果とその考察

1. サルファ・プリント

トップ直角方向面のサルファ・プリントにて認められた鋼塊樹枝状晶の長さの分布と圧延比の関係をFig. 1に

Table 2. Rolling course of the plates

Ingots	Slabs	Plates	
Thickness width length 600 × 1530 × 1600 mm	No. 1 No. 3 No. 4 No. 5 No. 6 No. 2	Thickness width length 300 × 1530 × 2200 mm	Thickness width length reduction ratio 150 × 1700 × 3780 mm 4 100 × 1700 × 5300 6 86 × 1700 × 6200 7 75 × 1700 × 7540 8 50 × 1700 × 11000 12 30 × 1700 × 11000 × 2 20



Reduction ratio = Ingot thick./Plate thick.
Fig. 1. Reduction ratio vs. length of dendritic crystals in sulphur prints.

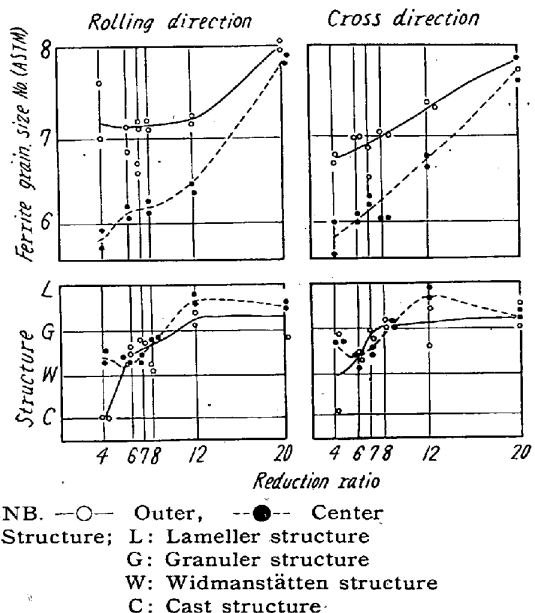


Fig. 2. Reduction ratio vs. microstructure (bottom sample).

示す。もちろんボトムにはかかる樹枝状晶は認められなかつたが、鋼塊一次組織の破壊徹底は圧延比 8 にて達せられることがわかる。

2. 顕微鏡試験

Fig. 2 に例示したように、フェライト結晶粒度は圧延比とともに微細化し、かつ板厚表面と中心との粒度差がなくなる。とくに中心部では圧延比とほぼ直線関係で微細化し圧延比 20 にて表面と同一粒度になる。一方、組織は板厚内外の差は少ないが、圧延比 12 までは鍛錬による改善効果が急激であり、12で改善効果は飽和し、圧延比 12 以上 20 まではあまり変らない。したがつて Fig. 2 から少なくともウイドマンステーテン組織を示さず、粒状組織にするには、圧延比は 8 以上であることが必要である。

3. 引張試験

全厚試験片での結果を Fig. 3 に、部分試験片での結

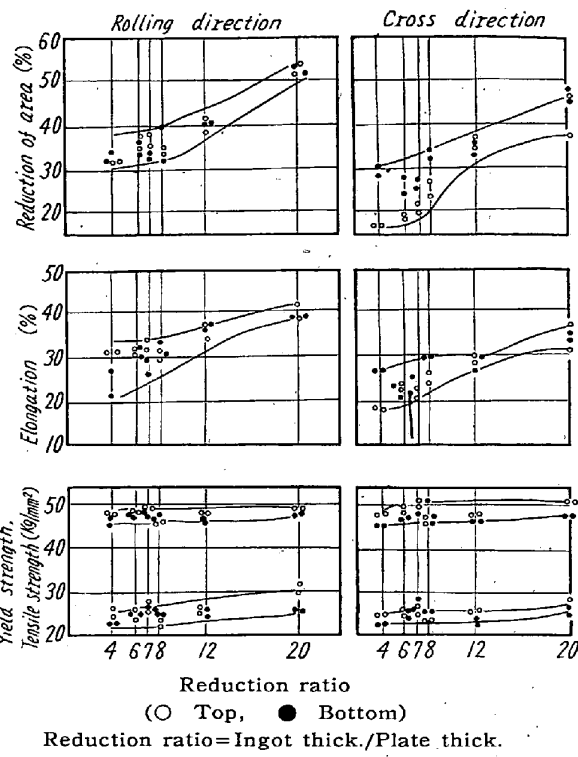


Fig. 3. Results of tensile test (full thickness specimen).

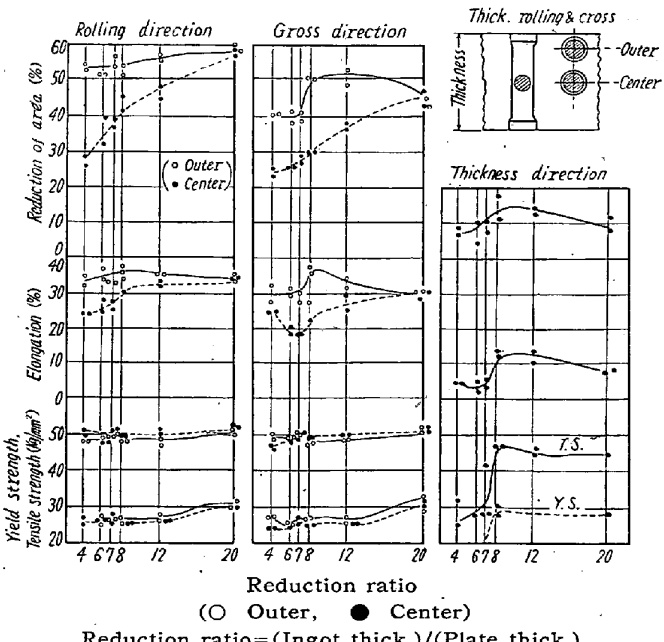


Fig. 4. Results of tensile test (local specimen, top).

果を Fig. 4 に示す。引張強さ、降伏点は圧延方向ならびに直角方向では圧延比とともにわずかに上昇傾向が認められるが、板厚内外差はない。ところが板厚方向では圧延比 7 ~ 8 を境として約 1.6 倍に上昇して、圧延方向や直角方向なみの材質値となる。したがつて、まず強度から圧延比は 8 以上でなければならない。つぎに伸び、

絞りの靱性は、板厚中心では圧延比に比例して向上する。表面部では圧延比4にてすでに相当のレベルにあり、圧延方向は以後ゆるやかに、直角方向は圧延比8にて急上昇してから圧延比20に到つてまた圧延比8未満のレベルまで減少を示す。Fig. 3の全厚試験片の挙動はFig. 4の板厚中心部と相似しており、板厚全体としての靱性は、圧延比とともに向上し、圧延比12になればトップ、ボトムの差や、方向差も少なくなり、圧延比20に到つて板厚内外の差も消失する。したがつて、伸び、絞りの靱性からは圧延比12以上をとることが望ましい。

4. Vノッチ・シャルピー衝撃試験

Fig. 5に示すごとく、結果はバラツキが多いが、エネルギー遷移温度(T_{RE})、破面遷移温度(Tr_s)はともに圧延比とともに低下を、 0°C 値(E_0)は向上を示し、圧延加工によつて材質が改善せられることを示している。この場合圧延比12までが改善効果が大きい。ところが15 ft-lb 遷移温度(Tr_{15})は、とくに板厚方向試片にては、圧延比12で最低を示し、圧延比がそれから不足、過剰のいずれにすれても材質が低下することを示している。この傾向はトップよりもボトムにいちじるしい。以上から、切欠靱性として、亀裂発生の特性からは最適圧延比(12)が存在し、亀裂伝播の特性からは、圧延比が大なるほど良い。また圧延比8以下では切欠靱性に難が

あると言える。

IV. 結 言

キルド鋼板の圧延比と材質について調査した結果、つぎのことが明らかとなつた。

1. 圧延方向の材質は、圧延比12までは急速に、以後ゆるやかに向上する。この傾向は靱性にはよく現われるが、強度にはあまり現われない。

2. 直角方向の材質は、圧延比8を境として急激に向上し以後飽和ないしやや下降を示す。

3. 板厚方向の材質は、圧延比8を境として強度が飛躍的に向上し、伸び、絞りおよび切欠靱性は圧延比8ないし12までは向上するが、のち圧延比20まで圧延とともにかえつて下降する傾向がある。

4. したがつて、板厚方向まで含めて考えれば、圧延比8以上が成品に対する必要条件で、圧延比12が最良条件と言える。

文 献

- 1) W. COUPETTE: Stahl u. Eisen, 61 (1941), S. 1013, 1036.
- 2) 伊丹: 鉄と鋼 22 (1936), No. 8 付録 p. 7
- 3) G. CHARPY: Engineering, (1918), Sept. 20
- 4) 斎藤: 鉄と鋼, 10 (1942), p. 542
- 5) 小平: 八幡製鐵研究所研究報告, Vol. XVI, No. 1
- 6) 村山, 木村: 製鐵研究 No. 224 (1958), p. 118
- 7) JIS G3103
- 8) JIS Z2202

(102) セミキルド厚鋼板の冷間加工性について

八幡製鐵所技術研究所

大竹 正・○権藤 永
福田 義家・有馬 朝夫

On the Cold Workability of Semikilled Steel Plates.

Tadashi Otake, Hisashi Gondoh,
Yoshiie Fukuda and Asao Arima.

I. 緒 言

近年熔接技術の普及とともに、厚鋼板は次第にリムド鋼より熔接性の良好なセミキルド鋼へ切換えられつつあり、当所においても従来リムドであつた品種のほとんどがセミキルドで生産されている現状にある。セミキルド鋼はリムド鋼より偏析が少なく均質な利点があるが、軟質のリム部がないために冷間曲げ加工性はかなり劣つて

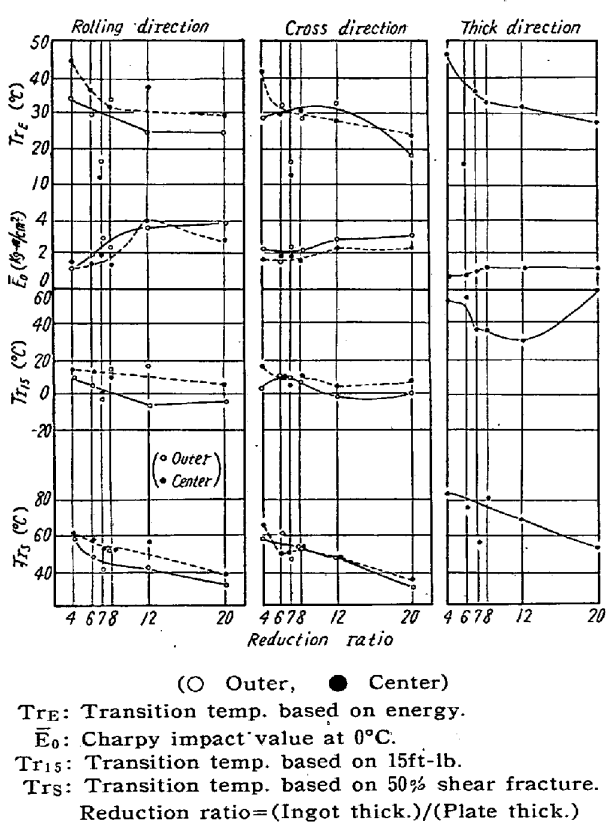


Fig. 5. Results of V-notch Charpy test.